

Modélisation des Robots Manipulateurs

Viviane PASQUI

Institut des Systèmes Intelligents et de Robotique

ISIR UPMC – CNRS / UMR 7222

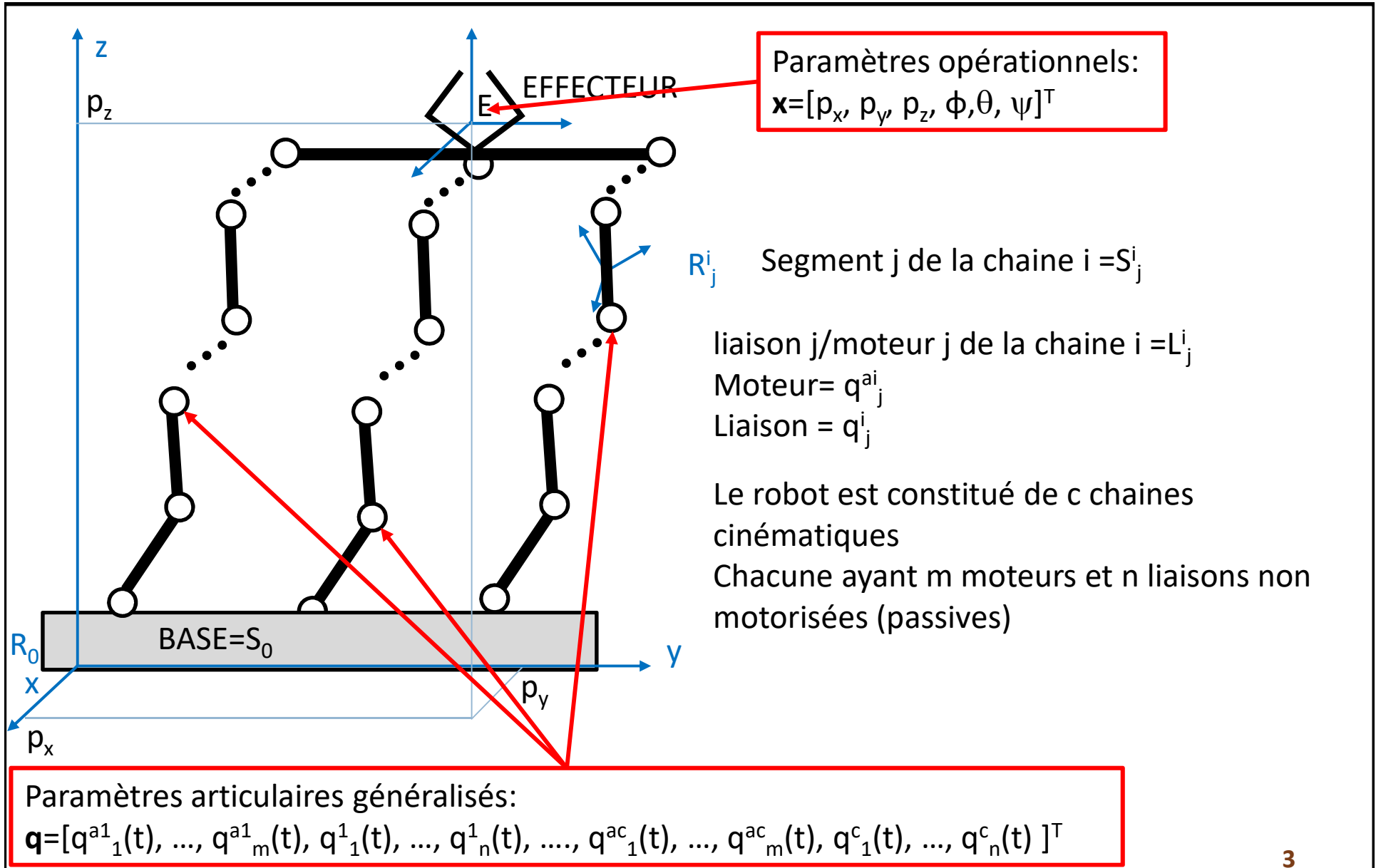
Equipe AGATHE – INSERM U1150

pasqui@isir.upmc.fr

Plan du Cours

- ❑ Modèle Cinématique direct des robots série
- ❑ Modèle statique direct des robots série
- ❑ Configurations singulières des robots série
- ❑ Manipulabilité
- ❑ Cinématique des robots série redondant
- ❑ Paramétrage des robots parallèles
- ❑ Mobilité des mécanismes
- ❑ Modèle géométrique inverse des robots parallèles
- ❑ Modèle cinématique inverse des robots parallèles
- ❑ Configurations singulières des robots parallèles

Paramétrage d'un robot parallèle



Robots Parallèles



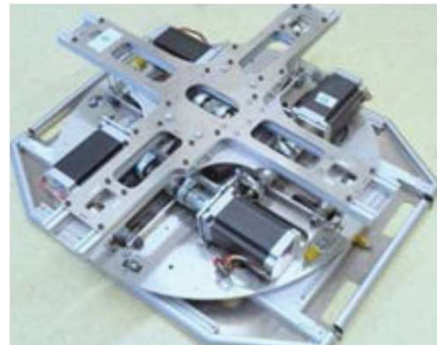
Plateforme de Stewart



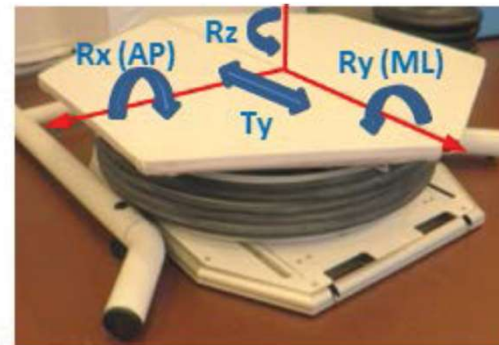
Robot Delta



MIT Manus



ISIMOV



3R Plan

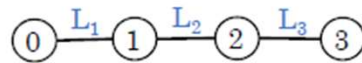
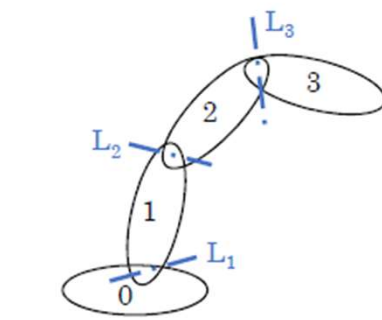
Robots parallèles vs robots série



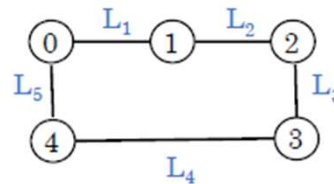
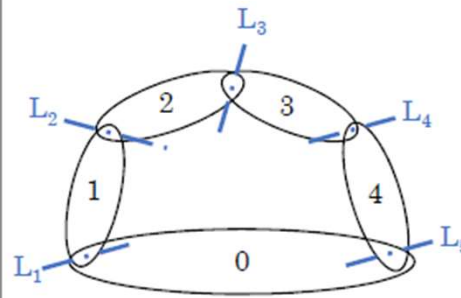
Transmission de vitesse	+	-
Transmission d'effort	+	-
Domaine de travail	-	+
Précision	+	-
Simplicité mécanique	-	+
simplicité de commande	-	+

Théorie des mécanismes

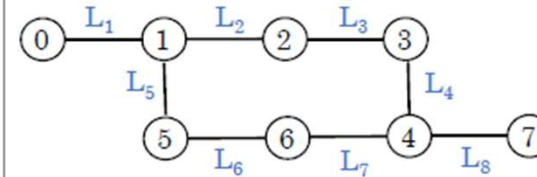
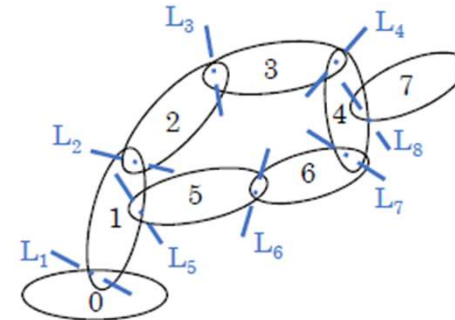
Représentation des mécanismes par des graphes de liaisons



Type I : Arborescent




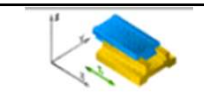
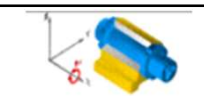

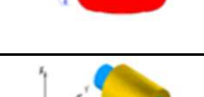
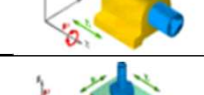
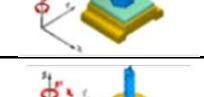

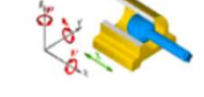

Type II : A cycles



Type III : Mixte

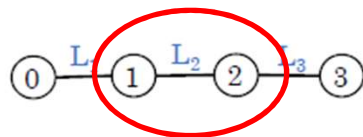
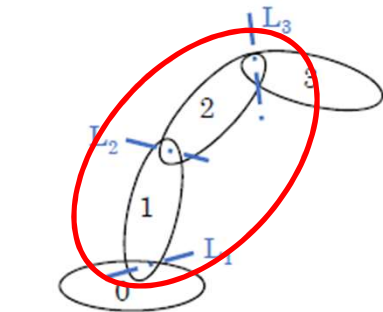
- Combien de mouvements?
- Y a-t-il des blocages?
- Y a-t-il des mobilités qui ne servent pas?

Mobilité des mécanismes

Liaison		Nombre de composantes non nulles dans le torseur cinématique	Nombre de composantes non nulles dans le torseur Statique
Encastrement		0	6
Glissière		1	5
Pivot		1	5
Glissière hélicoïdale		2 liées	4 liées
pivot glissant		2	4
appui plan		3	3
rotule		3	3
appui linéaire annulaire		4	2
appui linéaire rectiligne		4	2
appui ponctuel		5	1

Mobilité des mécanismes

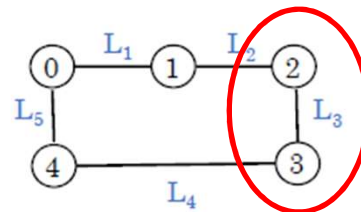
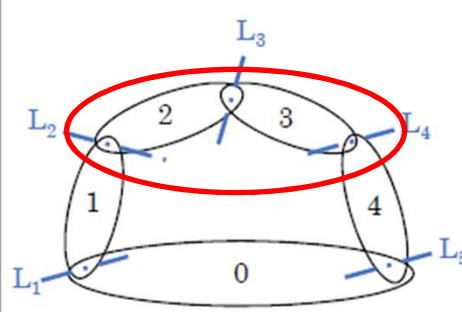
La **liaison équivalente** entre deux solides est la liaison théorique qui autorise le même mouvement relatif entre les deux solides.



Type I : Arborescent



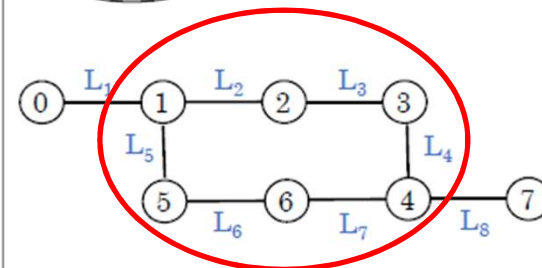
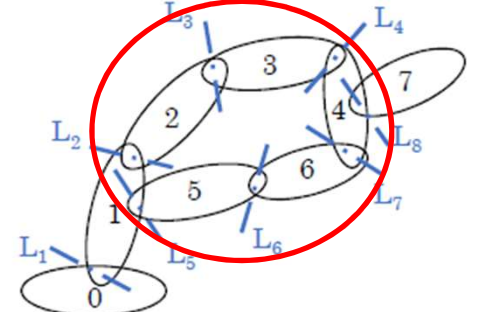
$$\mathcal{V}_{1/0}(P) + \mathcal{V}_{1/2}(P) = \mathcal{V}_{2/1}(P)$$



Type II : A cycles



$$\mathcal{V}_{4/3}(P) + \mathcal{V}_{3/2}(P) + \mathcal{V}_{2/1}(P) = \mathcal{V}_{4/1}(P)$$

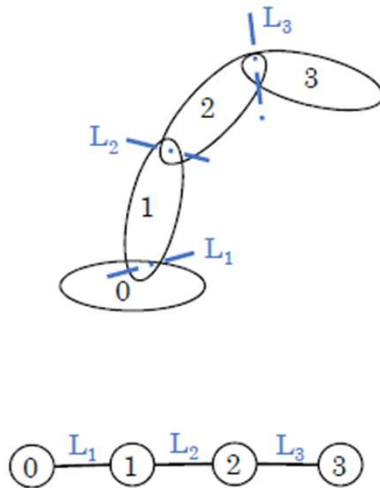


Type III : Mixte

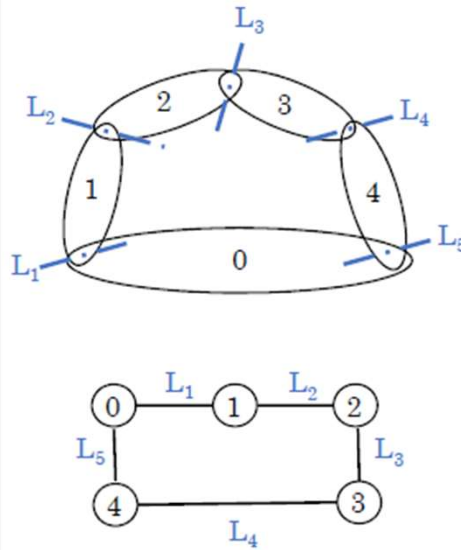


$$\mathcal{V}_{8/1}(P)$$

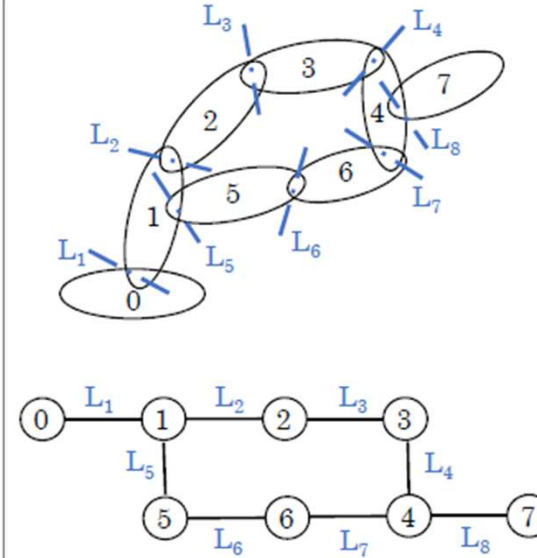
Mobilité des mécanismes



Type I : Arborescent



Type II : A cycles



Type III : Mixte

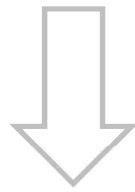
N_c : nombre de corps,
 N_L : nombre de liaisons,
 f_i : degré de liberté dans la $i^{\text{ème}}$ liaison,
 d : dimension de l'espace ($d = 6$ ou 3)

Le nombre de cycles indépendants : $\mu = 1 + N_L - N_c$
 L'indice de mobilité : $i_m = \sum f_i - d \cdot \mu$

Mobilité des mécanismes

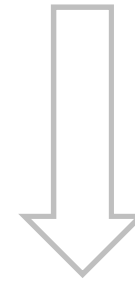
$$\sum \mathcal{V}_{S_{j-1} \rightarrow S_j}^i(P) = \mathcal{V}_{\text{Effecteur}/\text{Base}}(P)$$

Équations de fermeture de chaîne



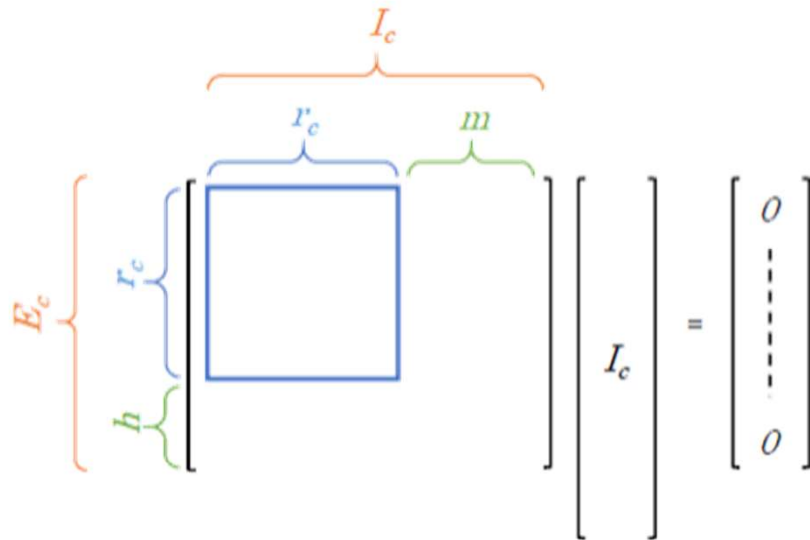
$$\begin{matrix} & \overbrace{\hspace{1.5cm}}^{I_c} \\ & \overbrace{\hspace{1.5cm}}^{r_c} \quad \overbrace{\hspace{1.5cm}}^m \\ E_c \left\{ \begin{matrix} r_c \\ h \end{matrix} \right\} \left[\begin{matrix} \boxed{} & \\ & \end{matrix} \right] \begin{matrix} \\ \\ \\ \end{matrix} \end{matrix} \begin{matrix} \\ \\ \\ \end{matrix} I_c = \begin{bmatrix} 0 \\ \vdots \\ 0 \end{bmatrix}$$

Etude statique/dynamique par corps

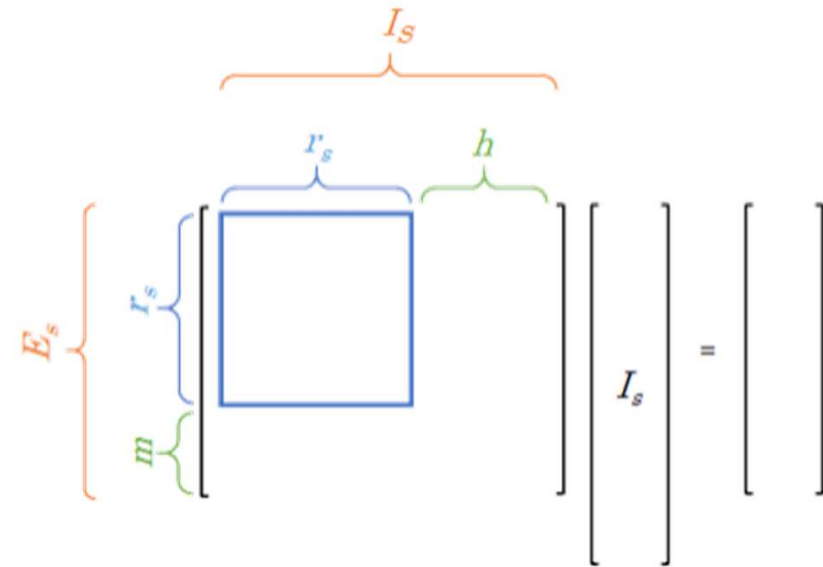


$$\begin{matrix} & \overbrace{\hspace{1.5cm}}^{I_s} \\ & \overbrace{\hspace{1.5cm}}^{r_s} \quad \overbrace{\hspace{1.5cm}}^h \\ E_s \left\{ \begin{matrix} r_s \\ m \end{matrix} \right\} \left[\begin{matrix} \boxed{} & \\ & \end{matrix} \right] \begin{matrix} \\ \\ \\ \end{matrix} \end{matrix} \begin{matrix} \\ \\ \\ \end{matrix} I_s = \begin{bmatrix} \\ \\ \\ \end{bmatrix}$$

Mobilité des mécanismes

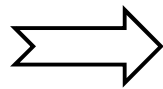


I_c : nb d'inconnues cinématiques $= \sum f_i$
 E_c : nb d'équations cinématiques $= d\mu$



I_s : nb d'inconnues statiques $= \sum (d - f_i)$
 E_s : nb d'équations statiques $= d(N_c - 1)$

r_c : rang(E_c)

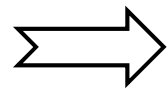


La mobilité : $m = I_c - r_c = E_s - r_s$ et $m \geq 0$

r_s : rang(E_s)

Le degrés d'hyperstatisme : $h = E_c - r_c = I_s - r_s$ et $h \geq 0$

$I_m = I_c - E_c = E_s - I_s = m - h$



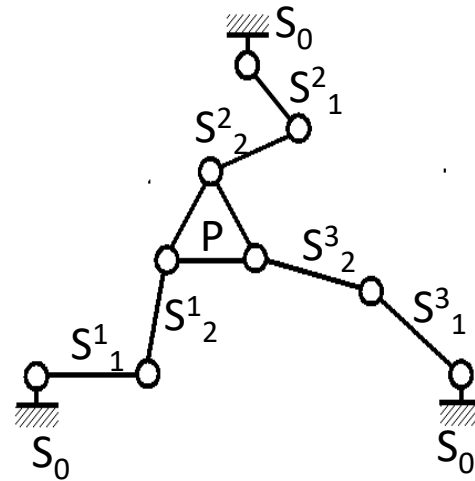
➤ Si $I_m < 0 \Rightarrow h > 0$

➤ Si $I_m > 0 \Rightarrow h = 0$ et $m = m_u + m_i$

Mobilité des mécanismes

	Cinématique	Statique
Nombre de corps	N_c	
Nombre de liaisons	N_L	
Dimension de l'espace	$d = 6 \text{ ou } 3$	
Nombre de cycles indépendants	$\mu = 1 + N_L - N_c$	
Indice de mobilité	$i_m = \sum f_i - d \cdot \mu$	
Nombre d'inconnues	$I_c = \sum f_i$	$I_s = \sum (d - f_i)$
Nombre d'équations	$E_c = d\mu$	$E_s = d(N_c - 1)$
Mobilité	$m = I_c - r_c$	$m = E_s - r_s$
Degrés d'hyperstatisme	$h = E_c - r_c$	$h = I_s - r_s$
$I_m = I_c - E_c = E_s - I_s = m - h = m_u + m_i - h$		

Mobilité des mécanismes: 3R Plan



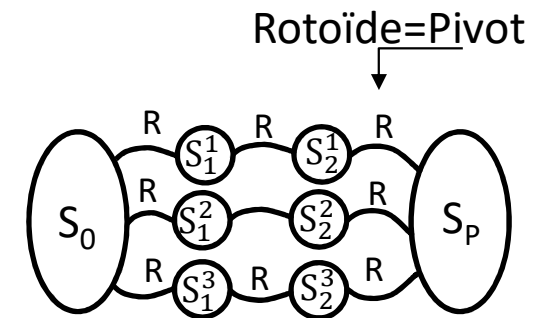
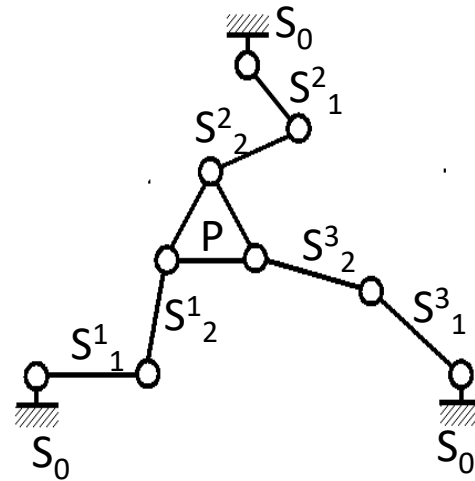
Graphe des liaisons

$i_m = ?$

$m = ?$

On suppose $r_C = E_C$

Mobilité des mécanismes: 3R Plan



$$\begin{aligned} \mathcal{V}_{S_P/S_2^1} + \mathcal{V}_{S_2^1/S_1^1} + \mathcal{V}_{S_1^1/S_0} &= \mathcal{V}_{S_P/S_2^2} + \mathcal{V}_{S_2^2/S_1^2} + \mathcal{V}_{S_1^2/S_0} \\ \mathcal{V}_{S_P/S_2^1} + \mathcal{V}_{S_2^1/S_1^1} + \mathcal{V}_{S_1^1/S_0} &= \mathcal{V}_{S_P/S_2^3} + \mathcal{V}_{S_2^3/S_1^3} + \mathcal{V}_{S_1^3/S_0} \end{aligned} \Rightarrow d=3 \text{ et } \mu=2: E_C=6$$

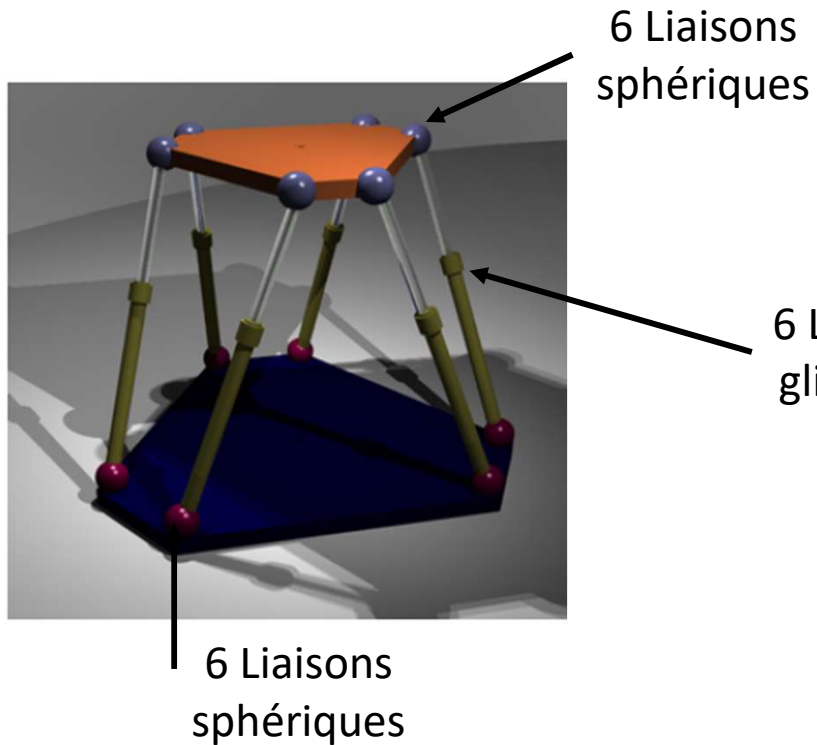
⇓

$$E_C=6 \text{ et } I_c=9 \Rightarrow i_m = I_c - E_C = 3$$

$$\text{Équations indépendantes: } r_c = 6 \Rightarrow m = I_c - r_c = 3$$

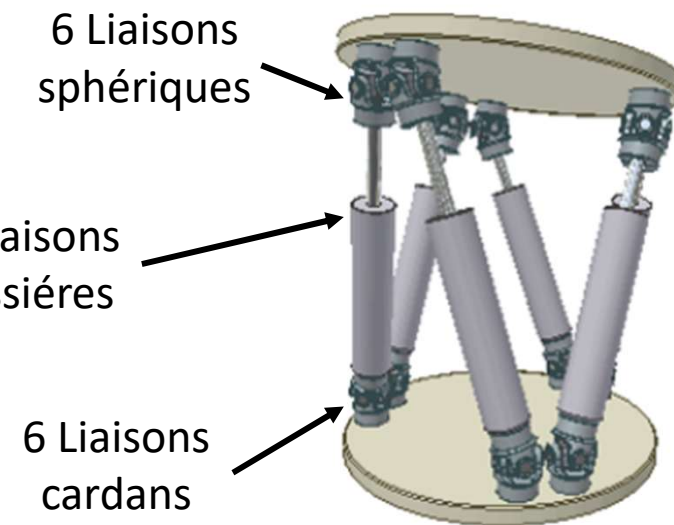
$$i_m = m - h \Rightarrow h = 0$$

Mobilité des mécanismes: Plateforme de Stewart



↓

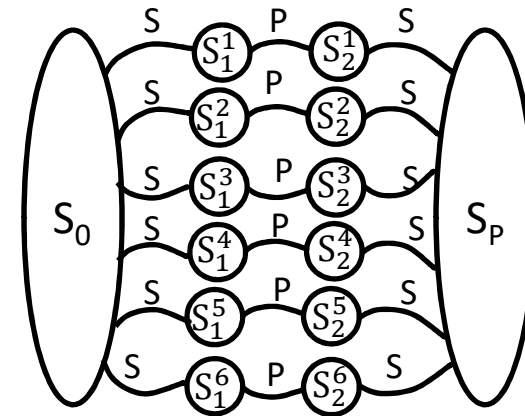
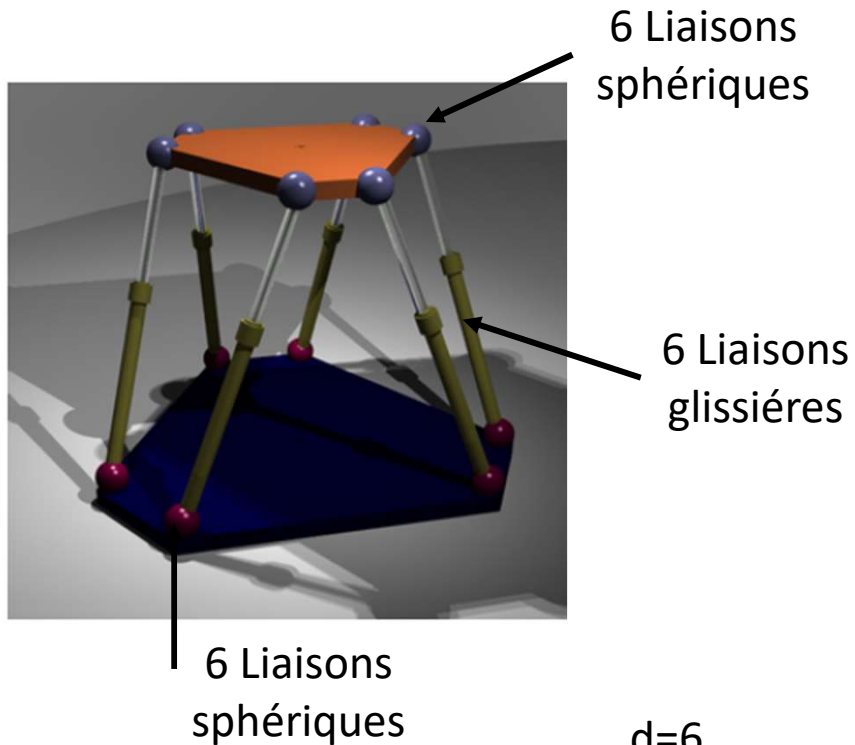
Graphe
 $i_m = ?$
 $m = ?$
On suppose $r_c = E_c$



↓

Graphe
 $i_m = ?$
 $m = ?$
On suppose $r_c = E_c$

Mobilité des mécanismes: Plateforme de Stewart



$$d=6$$

$$N_C=14$$

$$N_L=18$$

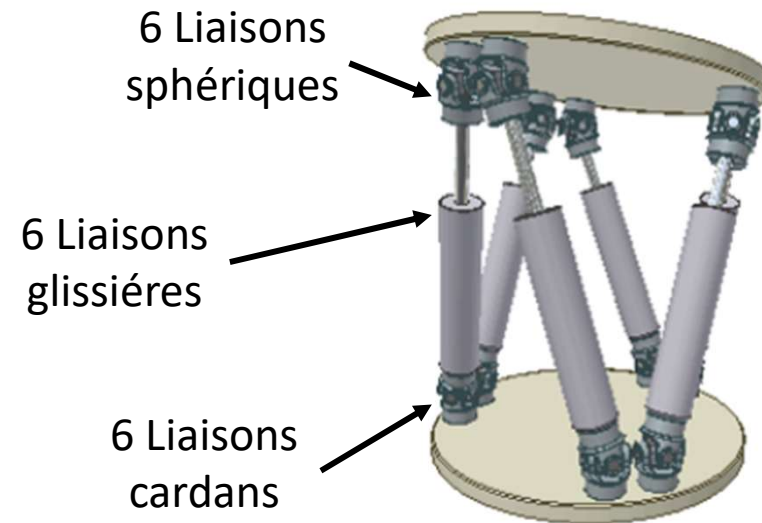
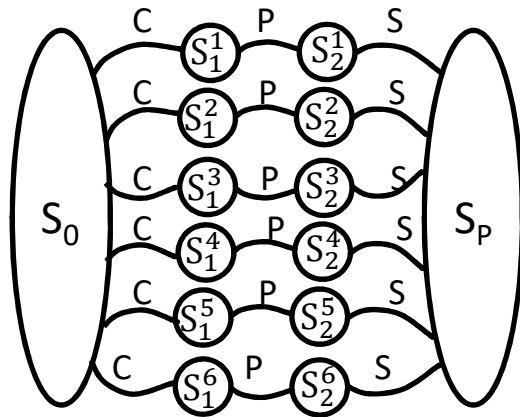
$$\mu = 1 + 18 - 14 = 5$$

$$E_C = d \cdot \mu = 30$$

$$I_c = \sum f_i = 6 \cdot 7 = 42$$

$$\Rightarrow \begin{aligned} i_m &= I_c - E_C = 12 \\ m &= 12 = 6 + 6 \\ \text{Il y a 6 mobilités internes} \end{aligned}$$

Mobilité des mécanismes: Plateforme de Stewart



$$d=6$$

$$N_C=14$$

$$N_L=18$$

$$\mu = 1 + 18 - 14 = 5$$

$$E_C = d \cdot \mu = 30$$

$$I_c = \sum f_i = 6 \cdot 6 = 36$$

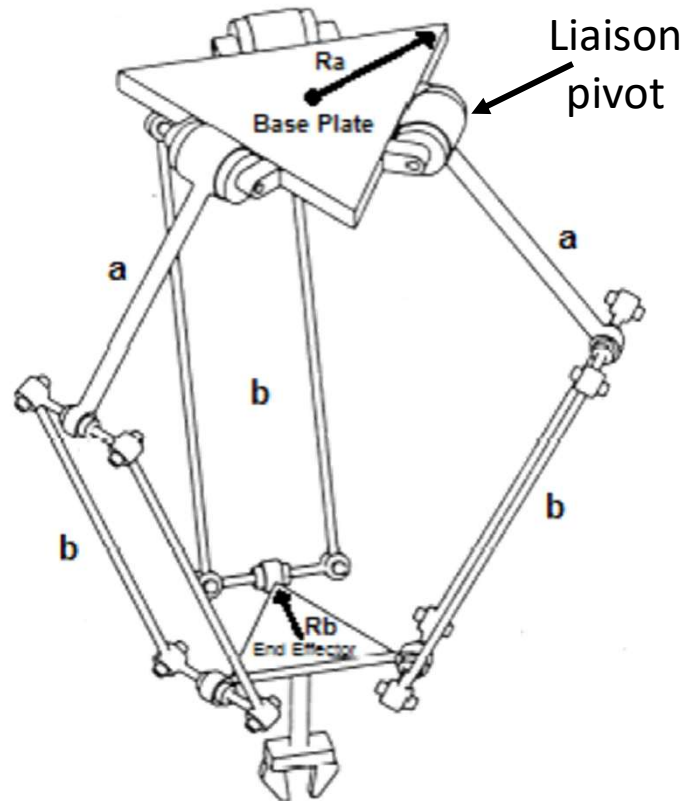
\Rightarrow

$$i_m = I_c - E_C = 6$$

$$m = 6$$

Il y a 6 mobilités internes

Mobilité des mécanismes: Robot Delta à 3DDL



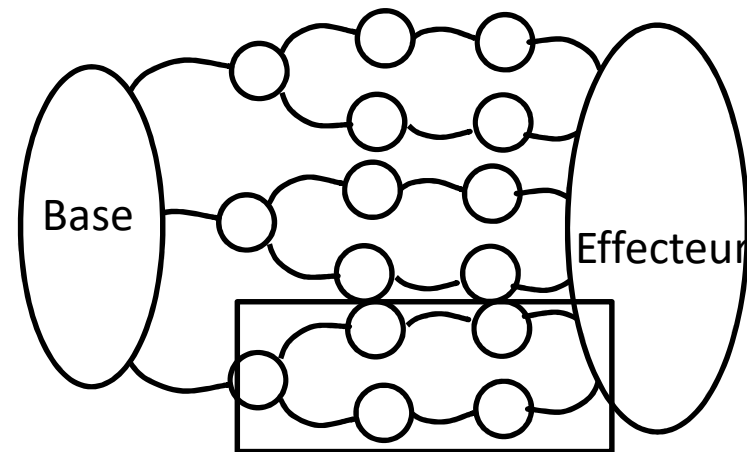
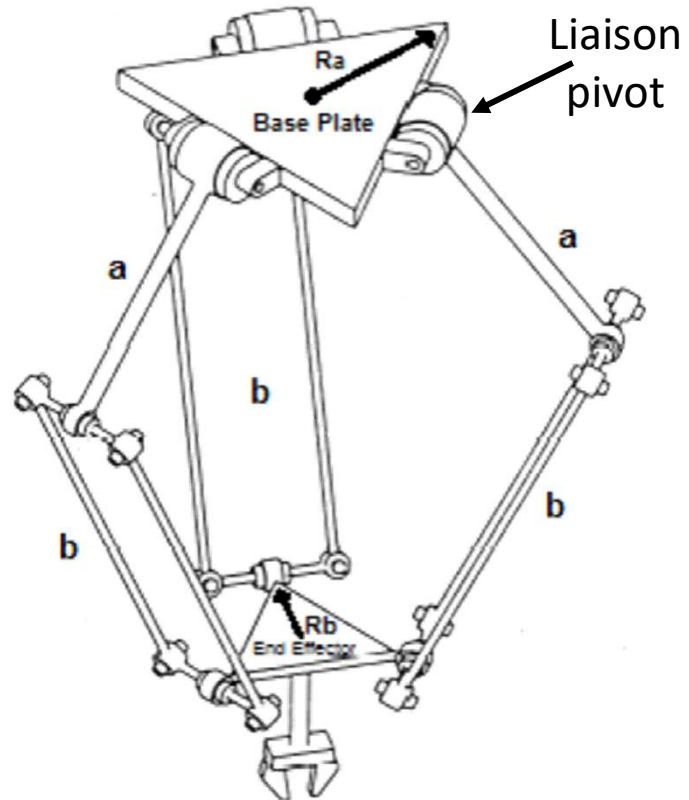
Graphe

$i_m = ?$

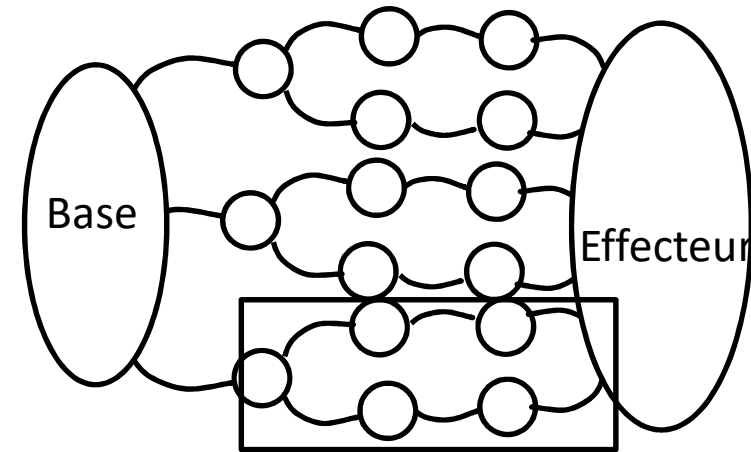
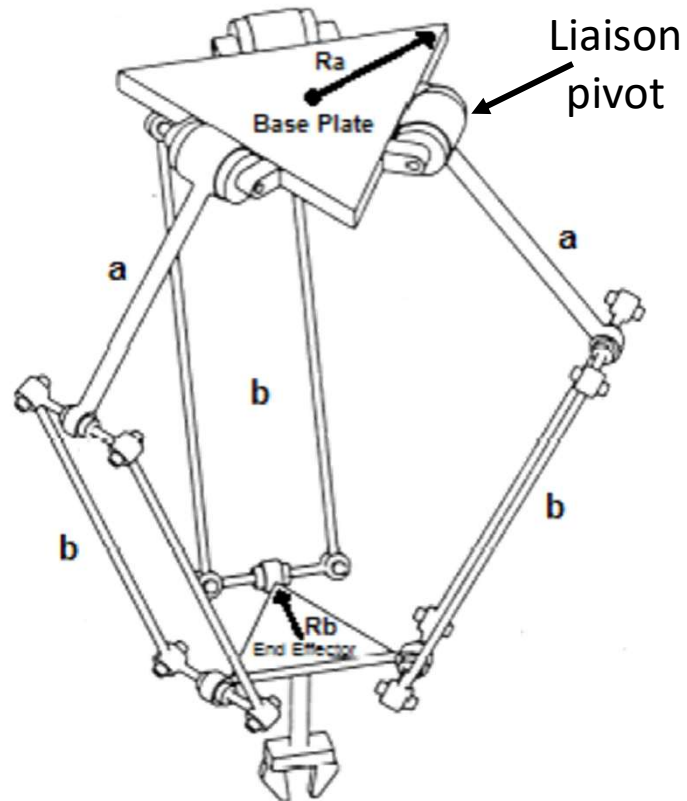
$m = ?$

On suppose $r_c = E_c$

Mobilité des mécanismes: Robot Delta à 3DDL

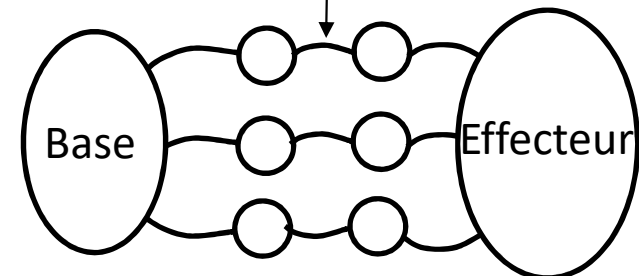


Mobilité des mécanismes: Robot Delta à 3DDL

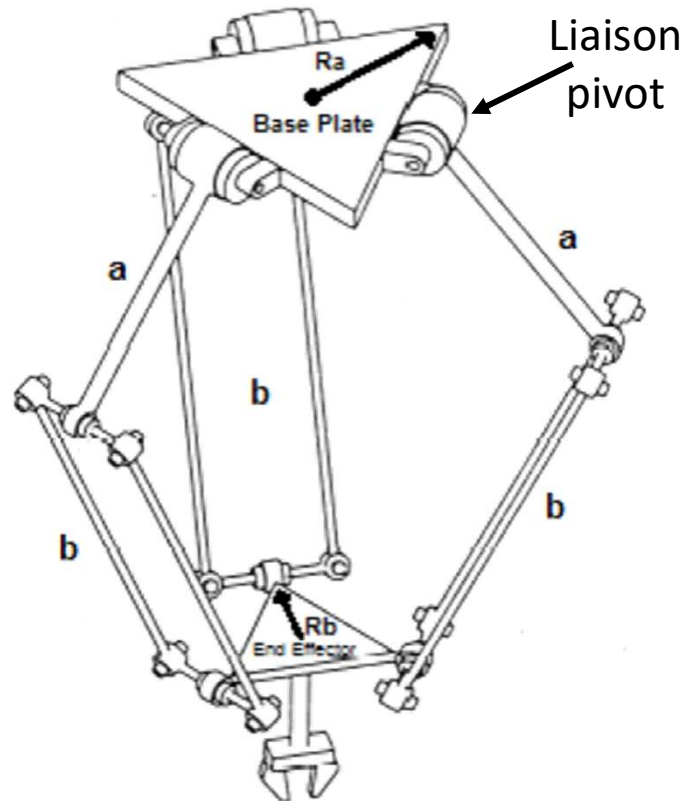


Liaison équivalente

$$\begin{aligned}
 d=3 & \quad E_c = d \cdot \mu = 3 \\
 N_c=6 & \Rightarrow I_c = \sum f_i = 6 \\
 N_L=6 & \quad i_m = I_c - E_c = 3 \\
 \mu=1 &
 \end{aligned}$$

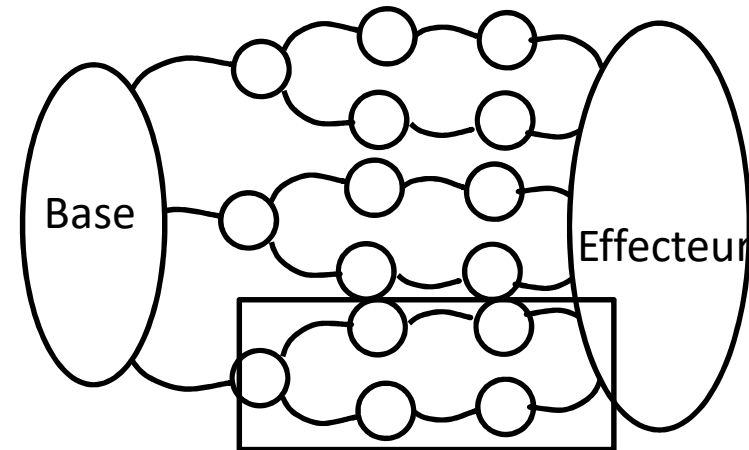


Mobilité des mécanismes: Robot Delta à 3DDL

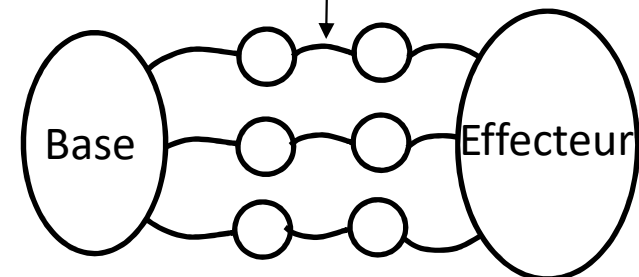


$$\begin{array}{ll}
 d=6 & E_c = d \cdot \mu = 12 \\
 N_c=8 & \Rightarrow I_c = \sum f_i = 15 \\
 N_L=9 & i_m = I_c - E_c = 3 \\
 \mu = 2 & m=3
 \end{array}$$

Liaison équivalente



$$\begin{array}{ll}
 d=3 & E_c = d \cdot \mu = 3 \\
 N_c=6 & \Rightarrow I_c = \sum f_i = 6 \\
 N_L=6 & i_m = I_c - E_c = 3 \\
 \mu = 1 &
 \end{array}$$



Modèles des robots parallèles

Modèles Géométriques:

Direct $\Rightarrow \mathbf{x} = \mathbf{f}(\mathbf{q})$

Inverse $\Rightarrow \mathbf{q} = \mathbf{f}^{-1}(\mathbf{x})$

Modèles Cinématiques:

Direct $\Rightarrow \dot{\mathbf{x}} = \mathbf{J}(\mathbf{q})\dot{\mathbf{q}}$

Inverse $\Rightarrow \dot{\mathbf{q}} = \mathbf{J}^{-1}(\mathbf{q})\dot{\mathbf{x}}$

Modèles Dynamique:

$$\boldsymbol{\tau} = \mathbf{M}(\mathbf{q})\ddot{\mathbf{q}} + \mathbf{C}(\mathbf{q}, \dot{\mathbf{q}})\dot{\mathbf{q}} + \mathbf{g}(\mathbf{q})$$

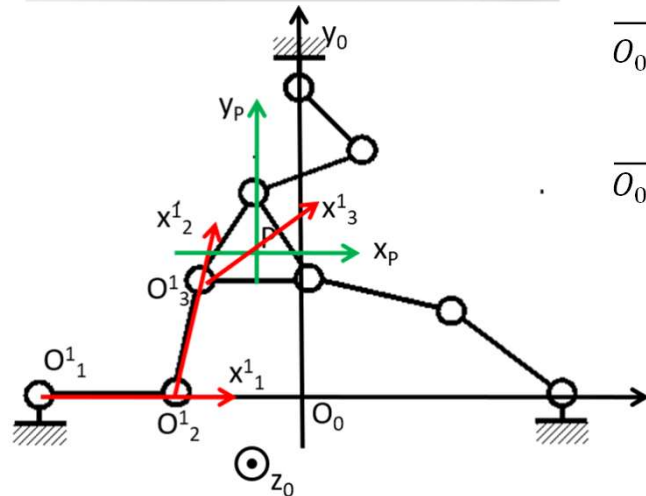
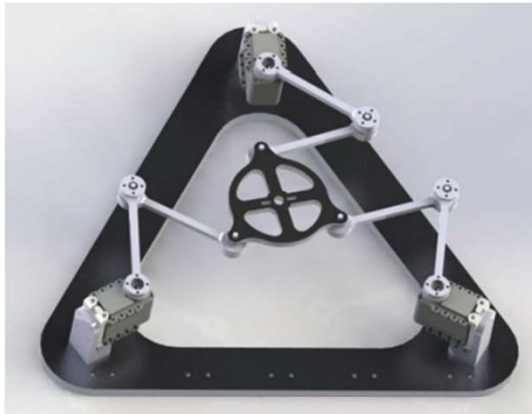
L'utilisation des modèles est la même que celle pour les robots série

La détermination des modèles se fait **d'abord sur les modèles inverses** puis par inversion pour obtenir les modèles direct

Comme pour les robots série la détermination des **modèles cinématiques peut être plus rapide**, car elle peut être automatisée.

Les variables articulaires apparaissant dans les modèles sont **uniquement celles des actionneurs**

Détermination des modèles géométriques du 3R Plan



$$\mathbf{x} = \begin{bmatrix} \phi \\ X_c \\ Y_c \end{bmatrix}; \quad \mathbf{q}^a = \begin{bmatrix} q_1^1 \\ q_1^2 \\ q_1^3 \end{bmatrix}; \quad \text{pour chaque chaine } i: \mathbf{q}^i = \begin{bmatrix} q_1^i \\ q_2^i \\ q_3^i \end{bmatrix}$$

Pour chaque chaine i:

$$\overrightarrow{O_0 O_1^i} = \begin{bmatrix} a_i \\ b_i \\ 0 \end{bmatrix}; \quad \overrightarrow{O_0 O_2^i} = \begin{bmatrix} a_i + l_1 \cos(q_1^i) \\ b_i + l_1 \sin(q_1^i) \\ 0 \end{bmatrix}$$

$$\overrightarrow{O_0 O_3^i} = \begin{bmatrix} a_i + l_1 \cos(q_1^i) + l_2 \cos(q_1^i + q_2^i) \\ b_i + l_1 \sin(q_1^i) + l_2 \sin(q_1^i + q_2^i) \\ 0 \end{bmatrix}$$

$$\overrightarrow{O_0 P} = \begin{bmatrix} a_i + l_1 \cos(q_1^i) + l_2 \cos(q_1^i + q_2^i) + h \cos(q_1^i + q_2^i + q_3^i) \\ b_i + l_1 \sin(q_1^i) + l_2 \sin(q_1^i + q_2^i) + h \sin(q_1^i + q_2^i + q_3^i) \\ 0 \end{bmatrix}$$

⇓

$$\begin{cases} \psi = q_1^i + q_2^i + q_3^i \\ x = a_i + l_1 \cos(q_1^i) + l_2 \cos(q_1^i + q_2^i) + h \cos(q_1^i + q_2^i + q_3^i) \\ y = b_i + l_1 \sin(q_1^i) + l_2 \sin(q_1^i + q_2^i) + h \sin(q_1^i + q_2^i + q_3^i) \end{cases}$$

Le modèle géométrique inverse consiste à extraire, de ces 3 équations, la variable articulaire relative à l'actionneur de la chaine i: q_1^i

Détermination des modèles géométriques du 3R Plan

$$\begin{cases} \psi = q_1^i + q_2^i + q_3^i \\ x = a_i + l_1 \cos(q_1^i) + l_2 \cos(q_1^i + q_2^i) + h \cos(q_1^i + q_2^i + q_3^i) \\ y = b_i + l_1 \sin(q_1^i) + l_2 \sin(q_1^i + q_2^i) + h \sin(q_1^i + q_2^i + q_3^i) \end{cases}$$

\Downarrow

$$\begin{cases} x - (a_i + l_1 \cos(q_1^i) + h \cos(\psi)) = l_2 \cos(q_1^i + q_2^i) \\ y - (b_i + l_1 \sin(q_1^i) + h \sin(\psi)) = l_2 \sin(q_1^i + q_2^i) \end{cases}$$

\Downarrow

$$(x - (a_i + l_1 \cos(q_1^i) + h \cos(\psi)))^2 + (y - (b_i + l_1 \sin(q_1^i) + h \sin(\psi)))^2 = l_2^2$$

\Downarrow

$$\begin{cases} K_1 = x - (a_i + h \cos(\psi)) \\ K_2 = y - (b_i + h \sin(\psi)) \end{cases} \Rightarrow (K_1 - l_1 \cos(q_1^i))^2 + (K_2 - l_1 \sin(q_1^i))^2 = l_2^2$$

\Downarrow

$$K_1 \cos(q_1^i) + K_2 \sin(q_1^i) = \frac{K_1^2 + K_2^2 + l_1^2 - l_2^2}{2l_1} = K_3$$

\Downarrow

$$T^2(K_1 + K_3) - 2K_2T + K_3 - K_1 = 0 \quad ; \quad T = \tan\left(\frac{q_1^i}{2}\right)$$

Détermination des modèles géométriques du 3R Plan

Le **modèle géométrique inverse** est décrit par les équations:

$$\text{Si } K_3^2 > K_1^2 \text{ alors } q_1^i = 2\arctan\left(\frac{K_2(1 \pm \sqrt{K_3^2 - K_1^2})}{K_1 + K_3}\right)$$

La **modèle cinématique inverse** s'obtient en dérivant cette relation ou par la méthode des torseurs réciproques.

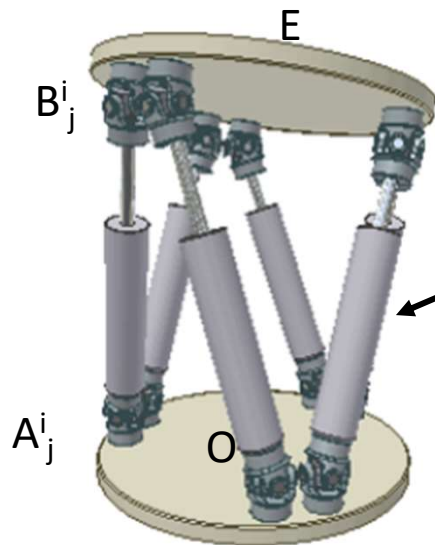
Le **modèle géométrique direct** s'obtient en résolvant le système:

$$\begin{cases} (x - (a_1 + l_1 \cos(q_1^1) + h \cos(\psi)))^2 + (y - (b_1 + l_1 \sin(q_1^1) + h \sin(\psi)))^2 = l_2^2 \\ (x - (a_2 + l_1 \cos(q_1^2) + h \cos(\psi)))^2 + (y - (b_2 + l_1 \sin(q_1^2) + h \sin(\psi)))^2 = l_2^2 \\ (x - (a_3 + l_1 \cos(q_1^3) + h \cos(\psi)))^2 + (y - (b_3 + l_1 \sin(q_1^3) + h \sin(\psi)))^2 = l_2^2 \end{cases}$$

Ou en intégrant numériquement le modèle cinématique direct obtenu avec la méthode des torseurs réciproques

Détermination des modèles géométriques

La détermination du modèle géométrique inverse d'un robot parallèle se fait à partir de conditions géométriques remarquables sur les variables articulaires des actionneurs



1 Actionneur par chaîne = liaison glissière

$$\|A_j^i B_j^i\| = q^{ai}$$

- Exprimer $\overrightarrow{A_j^i B_j^i} = \overrightarrow{A_j^i O} + \overrightarrow{OE} + \overrightarrow{EB_j^i}$
- Calculer $\overrightarrow{A_j^i B_j^i} \cdot \overrightarrow{A_j^i B_j^i}$
- Extraire q^{ai}

$$\overrightarrow{A_j^i B_j^i} = q^{ai} \vec{z}_j^i$$

$$\overrightarrow{OA_j^i} = r_B \cos(\alpha_i) \vec{x}_0 + r_B \sin(\alpha_i) \vec{y}_0$$

$$\overrightarrow{OE} = p_x \vec{x}_0 + p_y \vec{y}_0 + p_z \vec{z}_0$$

$$\overrightarrow{EB_j^i} = r_E \cos(\beta_i) \vec{x}_E + r_E \sin(\beta_i) \vec{y}_E$$

$$\overrightarrow{EB_j^i} = r_E \cos(\beta_i) (R_{11} \vec{x}_0 + R_{12} \vec{y}_0 + R_{13} \vec{z}_0) + r_E \sin(\beta_i) (R_{21} \vec{x}_0 + R_{22} \vec{y}_0 + R_{23} \vec{z}_0)$$

$$(\vec{x}_E, \vec{y}_E) = {}^E R_B (\vec{x}_0, \vec{y}_0)$$

$${}^E R_B = \begin{bmatrix} R_{11}(t) & R_{12}(t) & R_{13}(t) \\ R_{21}(t) & R_{22}(t) & R_{23}(t) \\ R_{31}(t) & R_{32}(t) & R_{33}(t) \end{bmatrix}$$

Détermination des modèles géométriques

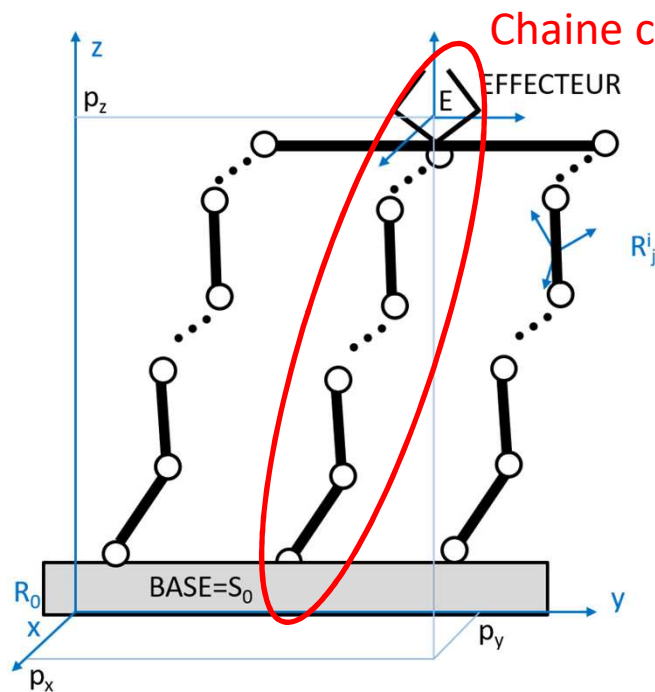
$$\overrightarrow{A_j^i B_j^i} \cdot \overrightarrow{A_j^i B_j^i} = (q^{ai})^2 = (p_x + r_E \cos(\beta_i) R_{11} + r_E \sin(\beta_i) R_{21} - r_B \cos(\alpha_i))^2 + (p_y + r_E \cos(\beta_i) R_{21} + r_E \sin(\beta_i) R_{22} - r_B \sin(\alpha_i))^2 + (p_z + r_E \cos(\beta_i) R_{31} + r_E \sin(\beta_i) R_{32} - r_B \cos(\alpha_i))^2$$

Il y a deux solution géométriques : $q^{ai} \leq 0$ ou $q^{ai} \geq 0$, pour $i=1..6$

Le modèle géométrique direct consiste à résoudre le système de 6 équations à 6 inconnues....

..... ou à **intégrer numériquement** les modèles cinématiques inverse et direct

Détermination des modèles cinématiques



1. Utiliser le paramétrage de DH pour les L_j , $j=1, \dots, m$
2. Ecrire le modèle cinématique direct de chaque chaîne i
3. Eliminer les torseurs cinématiques des liaisons passives
4. Ecrire la matrice jacobienne inverse de chaque chaîne
5. **Construire la jacobienne inverse du robot**
6. Ecrire le modèle statique direct de chaque chaîne
7. Eliminer les torseurs statiques des liaisons passives
8. Ecrire le modèle statique inverse de chaque chaîne i
9. **Construire la jacobienne du robot**

$$\begin{bmatrix} \dot{\phi} \\ \dot{\theta} \\ \dot{\psi} \\ \dot{p}_x \\ \dot{p}_y \\ \dot{p}_z \end{bmatrix} = \left[\begin{array}{ccc|ccc} \$^i_{1/0} & \dots & \$^i_{m_a/m_a-1} & \$^i_{m_a+1/m_a} & \dots & \$^i_{m/m-1} \end{array} \right] \begin{bmatrix} \dot{q}_1^{ai} \\ \vdots \\ \dot{q}_m^i \end{bmatrix}$$

↓

Liaisons actives

↓

Liaisons passives

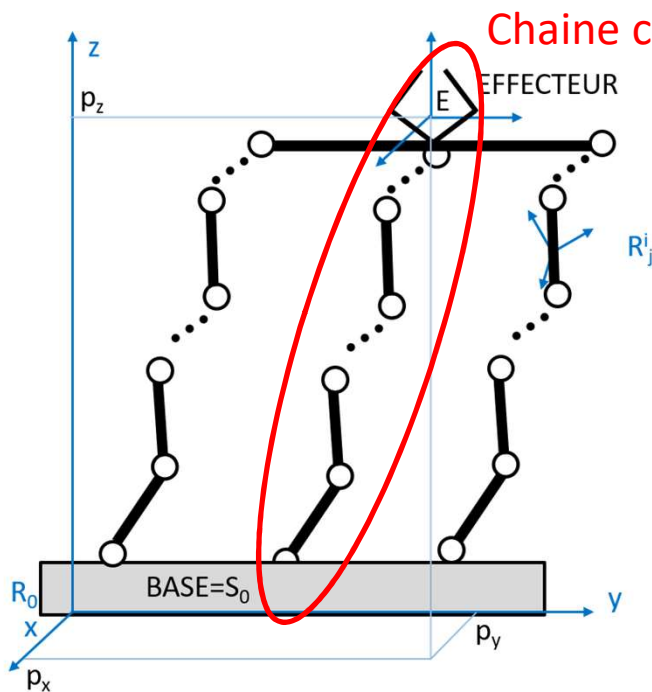
→

actionneurs

→

Inconnues de liaisons

Détermination des modèles cinématiques



1. Utiliser le paramétrage de DH pour les L_j , $j=1, \dots, m$
2. Ecrire le modèle cinématique direct de chaque chaîne i
3. Eliminer les torseurs cinématiques des liaisons passives
4. Ecrire la matrice jacobienne inverse de chaque chaîne
5. **Construire la jacobienne inverse du robot**
6. Ecrire le modèle statique direct de chaque chaîne
7. Eliminer les torseurs statiques des liaisons passives
8. Ecrire le modèle statique inverse de chaque chaîne i
9. **Construire la jacobienne du robot**

On cherche les $\$j^{\perp i}$ tels que:

$$\underbrace{\begin{bmatrix} \$1^{\perp i T} \\ \vdots \\ \$m_a^{\perp i T} \end{bmatrix}}_{A^i} \begin{bmatrix} \dot{\phi} \\ \dot{\theta} \\ \dot{\psi} \\ \dot{p}_x \\ \dot{p}_y \\ \dot{p}_z \end{bmatrix} = \underbrace{\begin{bmatrix} \$1^{\perp i} \cdot \$1^i & 0 & 0 \\ 0 & \ddots & 0 \\ 0 & 0 & \$m_a^{\perp i} \cdot \$m_a^i \end{bmatrix}}_{B^i} \begin{bmatrix} \dot{q}_1^{ai} \\ \vdots \\ \dot{q}_{m_a}^{ai} \end{bmatrix} \longrightarrow \text{actionneurs}$$

Détermination du modèle cinématique inverse

Pour chaque chaîne cinématique $i, i=1..n$

$$\mathcal{V}_{\text{Effecteur}/\text{Base}}(P) = \sum_{j=1}^{m_a} \dot{q}_j^{ai} \$^i_j + \sum_{k=m_a+1}^m \dot{q}_k^i \$^i_k \quad \text{dans le même repère} \quad \underbrace{[\$^i_1] \cdot [\$^i_2]} = \begin{bmatrix} \vec{R}_1 \\ \vec{M}_1 \end{bmatrix} \cdot \begin{bmatrix} \vec{R}_2 \\ \vec{M}_2 \end{bmatrix} = \vec{R}_1 \cdot \vec{R}_2 + \vec{M}_1 \vec{M}_2$$

m_a actionneurs et $m-m_a$ liaisons passives

Il existe $\$^{\perp i}_j$ tel que $[\$^i_j] \cdot [\$^{\perp i}_j] = D^i_j \neq 0$ et pour $k \neq j$: $[\$^i_k] \cdot [\$^{\perp i}_j] = 0$

$\$^{\perp i}_j$ est dit torseur réciproque aux torseurs $\i_k

Détermination du modèle cinématique inverse

Pour chaque chaîne cinématique i , $i=1..n$

$$\mathcal{V}_{\text{Effecteur}/\text{Base}}(P) = \sum_{j=1}^{m_a} \dot{q}_j^{ai} \$^i_j + \sum_{k=m_a+1}^m \dot{q}_k^i \$^i_k \quad \text{dans le même repère}$$

m_a actionneurs et $m-m_a$ liaisons passives

Il existe $\$^{\perp i}_j$ tel que $[\$^i_j] \cdot [\$^{\perp i}_j] = D^i_j \neq 0$ et pour $k \neq j$: $[\$^i_k] \cdot [\$^{\perp i}_j] = 0$

$\$^{\perp i}_j$ est dit torseur réciproque aux torseurs $\i_k

L'analyse suivante est faite dans l'espace vectoriel euclidien orienté et $[\$]$ est le vecteur ayant pour composantes celles du torseur $\$$.

Pour $j=1..m$, $k=1..m$ et $k \neq j$: $[\$^i_k] \cdot [\$^{\perp i}_j] = 0 \Rightarrow [\$^{\perp i}_j]$ est \perp à $([\$^i_1], \dots, [\$^i_k], \dots, [\$^i_m])$

$\Rightarrow [\$^{\perp i}_j]$ est égal au produit vectoriel des vecteurs $[\$^i_1], \dots, [\$^i_m]$

Soit $([E_1]..[E_m])$ une base orthonormée directe de l'espace vectoriel: $[\$^{\perp i}_j] = \sum S^i_{jp} [E_p]$, avec S^i_{jp} la $p^{\text{ième}}$ composante de $[\$^{\perp i}_j]$: $S^i_{jp} = [\$^{\perp i}_j] \cdot [E_p]$

Par définition, le produit mixe de $[E_p]$ et $([\$^i_1], \dots, [\$^i_m])$ est :

$$S^i_{jp} = |[E_p] \quad [\$^i_1] \quad \dots \quad [\$^i_m]|$$

Détermination du modèle cinématique inverse

Pour chaque chaîne cinématique i , $i=1..n$

$$\mathcal{V}_{\text{Effecteur}/\text{Base}}(P) = \sum_{j=1}^{m_a} \dot{q}_j^{ai} \$j^i + \sum_{k=m_a+1}^m \dot{q}_k^i \$k^i$$

m_a actionneurs et $m-m_a$ liaisons passives

Il existe $\$j^{\perp i}$ tel que $[\$j^i] \cdot [\$j^{\perp i}] = D_j^i \neq 0$ et pour $k \neq j$: $[\$k^i] \cdot [\$j^{\perp i}] = 0$

$\$j^{\perp i}$ est dit torseur réciproque aux torseurs $\$k^i$

$$[\$j^{\perp i}] \cdot [\mathcal{V}_{\text{Effecteur}/\text{Base}}(P)] = \dot{q}_j^{ai} [\$j^{\perp i}] \cdot [\$j^i] = \dot{q}_j^{ai} B_j^i$$

$$\underbrace{\begin{bmatrix} \$1^{\perp i T} \\ \vdots \\ \$j^{\perp i T} \\ \vdots \\ \$m_a^{\perp i T} \end{bmatrix}}_{A^i} \begin{bmatrix} \dot{\phi} \\ \dot{\theta} \\ \dot{\psi} \\ \dot{p}_x \\ \dot{p}_y \\ \dot{p}_z \end{bmatrix} = \underbrace{\begin{bmatrix} B_1^i & 0 & 0 \\ 0 & \ddots & 0 \\ 0 & 0 & B_{m_a}^i \end{bmatrix}}_{B^i} \begin{bmatrix} \dot{q}_1^{ai} \\ \vdots \\ \dot{q}_{m_a}^{ai} \end{bmatrix}$$

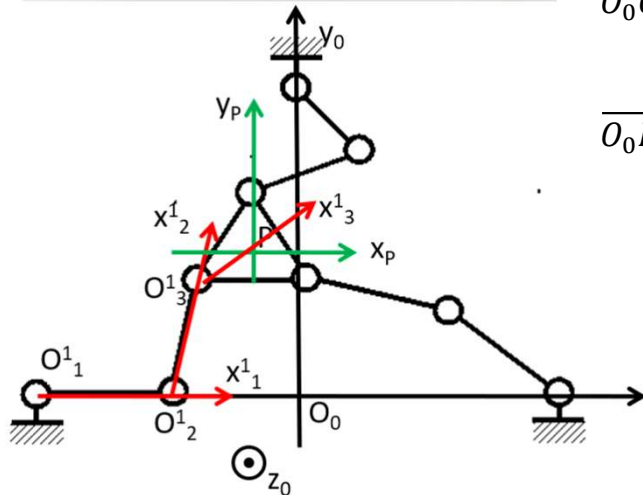
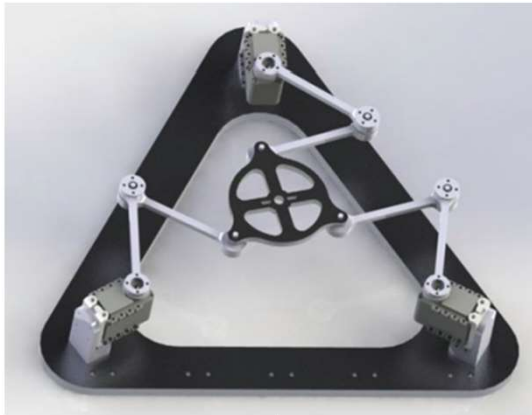
Détermination du modèle cinématique inverse

Pour la chaîne i:
$$\begin{bmatrix} \dot{q}_1^{ai} \\ \vdots \\ \dot{q}_{m_a}^{ai} \end{bmatrix} = \underbrace{(\mathbf{B}^i)^{-1} \mathbf{A}^i}_{\mathbf{J}_i^{-1}} \begin{bmatrix} \dot{\phi} \\ \dot{\theta} \\ \dot{\psi} \\ \dot{p}_x \\ \dot{p}_y \\ \dot{p}_z \end{bmatrix}$$

Le modèle cinématique inverse s'écrit:

$$\begin{bmatrix} \dot{q}_1^{a1} \\ \vdots \\ \dot{q}_{m_a}^{ac} \end{bmatrix} = \underbrace{\begin{bmatrix} \mathbf{J}_1^{-1} \\ \vdots \\ \mathbf{J}_{m_a}^{-1} \end{bmatrix}}_{\mathbf{J}^{-1}} \begin{bmatrix} \dot{\phi} \\ \dot{\theta} \\ \dot{\psi} \\ \dot{p}_x \\ \dot{p}_y \\ \dot{p}_z \end{bmatrix}$$

Détermination des modèles cinématiques du 3R Plan



$$\mathbf{x} = \begin{bmatrix} \phi \\ X_c \\ Y_c \end{bmatrix}; \quad \mathbf{q}^a = \begin{bmatrix} q_1^1 \\ q_1^2 \\ q_1^3 \end{bmatrix} \quad ; \quad \text{pour chaque chaine } i: \mathbf{q}^i = \begin{bmatrix} q_1^i \\ q_2^i \\ q_3^i \end{bmatrix}$$

$$\overrightarrow{O_0 O_1^i} = \begin{bmatrix} a_i \\ b_i \\ 0 \end{bmatrix} \quad ; \quad \overrightarrow{O_0 O_2^i} = \begin{bmatrix} a_i + l_1 \cos(q_1^i) \\ b_i + l_1 \sin(q_1^i) \\ 0 \end{bmatrix}$$

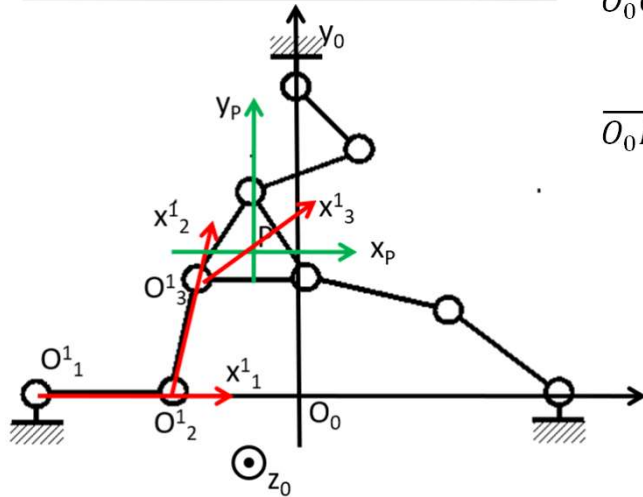
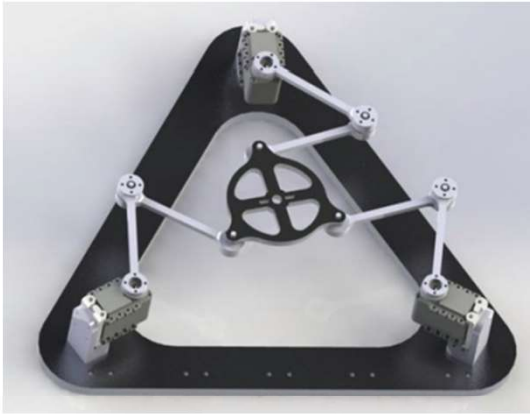
$$\overrightarrow{O_0 O_3^i} = \begin{bmatrix} a_i + l_1 \cos(q_1^i) + l_2 \cos(q_1^i + q_2^i) \\ b_i + l_1 \sin(q_1^i) + l_2 \sin(q_1^i + q_2^i) \\ 0 \end{bmatrix}$$

$$\overrightarrow{O_0 P} = \begin{bmatrix} a_i + l_1 \cos(q_1^i) + l_2 \cos(q_1^i + q_2^i) + h \cos(q_1^i + q_2^i + q_3^i) \\ b_i + l_1 \sin(q_1^i) + l_2 \sin(q_1^i + q_2^i) + h \sin(q_1^i + q_2^i + q_3^i) \\ 0 \end{bmatrix}$$

Pour chaque chaine:

- Écrire les torseurs cinématique
- Calculer les torseurs cinématiques réciproques liaisons passives
- Ecrire les matrices

Détermination des modèles cinématiques du 3R Plan



$$\mathbf{x} = \begin{bmatrix} \phi \\ X_c \\ Y_c \end{bmatrix}; \quad \mathbf{q}^a = \begin{bmatrix} q_1^1 \\ q_1^2 \\ q_1^3 \end{bmatrix}; \quad \text{pour chaque chaîne } i: \mathbf{q}^i = \begin{bmatrix} q_1^i \\ q_2^i \\ q_3^i \end{bmatrix}$$

$$\overrightarrow{O_0 O_1^i} = \begin{bmatrix} a_i \\ b_i \\ 0 \end{bmatrix}; \quad \overrightarrow{O_0 O_2^i} = \begin{bmatrix} a_i + l_1 \cos(q_1^i) \\ b_i + l_1 \sin(q_1^i) \\ 0 \end{bmatrix}$$

$$\overrightarrow{O_0 O_3^i} = \begin{bmatrix} a_i + l_1 \cos(q_1^i) + l_2 \cos(q_1^i + q_2^i) \\ b_i + l_1 \sin(q_1^i) + l_2 \sin(q_1^i + q_2^i) \\ 0 \end{bmatrix}$$

$$\overrightarrow{O_0 P} = \begin{bmatrix} a_i + l_1 \cos(q_1^i) + l_2 \cos(q_1^i + q_2^i) + h \cos(q_1^i + q_2^i + q_3^i) \\ b_i + l_1 \sin(q_1^i) + l_2 \sin(q_1^i + q_2^i) + h \sin(q_1^i + q_2^i + q_3^i) \\ 0 \end{bmatrix}$$

$$\$1^i(P) = \begin{Bmatrix} 0 \\ 0 \\ 1 \\ -l_1 \sin(q_1^i) - l_2 \sin(q_1^i + q_2^i) - h \sin(q_1^i + q_2^i + q_3^i) \\ l_1 \cos(q_1^i) + l_2 \cos(q_1^i + q_2^i) + h \cos(q_1^i + q_2^i + q_3^i) \\ 0 \end{Bmatrix}$$

$$\$2^i(P) = \begin{Bmatrix} 0 \\ 0 \\ 1 \\ -l_2 \sin(q_1^i + q_2^i) - h \sin(q_1^i + q_2^i + q_3^i) \\ l_2 \cos(q_1^i + q_2^i) + h \cos(q_1^i + q_2^i + q_3^i) \\ 0 \end{Bmatrix}$$

$$\$3^i(P) = \begin{Bmatrix} 0 \\ 0 \\ 1 \\ -h \sin(q_1^i + q_2^i + q_3^i) \\ h \cos(q_1^i + q_2^i + q_3^i) \\ 0 \end{Bmatrix}$$

Détermination des modèles cinématiques du 3R Plan

Pour chaque chaine i: $\mathcal{V}_{\text{Eff}/\text{Base}}(\text{P}) = \dot{q}_1^{ai} \$1^i(\text{P}) + \dot{q}_2^i \$1^i(\text{P}) + \dot{q}_3^i \$1^i(\text{P})$

Pour chaque chaine i, on cherche : $\$1^{\perp i} = \begin{Bmatrix} r_1^i \\ r_2^i \\ r_3^i \end{Bmatrix}$ vérifiant : $\begin{cases} (1) \$1^{\perp i} \cdot \$1^i \neq 0 \\ (2) \$1^{\perp i} \cdot \$2^i = 0 \\ (3) \$1^{\perp i} \cdot \$3^i = 0 \end{cases}$

\Downarrow

$$r_1^i = \underbrace{\begin{bmatrix} 1 \\ 0 \\ 0 \end{bmatrix}}_{l_1 \sin(q_3^i)}, r_2^i = \underbrace{\begin{bmatrix} 0 \\ 1 \\ 0 \end{bmatrix}}_{l_2 \cos(q_1^i + q_2^i)}, r_3^i = \underbrace{\begin{bmatrix} 0 \\ 0 \\ 1 \end{bmatrix}}_{l_2 \sin(q_1^i + q_2^i)} \text{ et } \$1^{\perp i} \circ \$1^i = l_1 l_2 \sin(q_2^i)$$

\Downarrow

$$\$1^{\perp i} \circ \mathcal{V}_{\text{Eff}/\text{Base}}(\text{P}) = \dot{q}_1^{ai} \$1^{\perp i} \cdot \$1^i + \cancel{\dot{q}_2^i \$1^{\perp i} \cdot \$2^i} + \cancel{\dot{q}_3^i \$1^{\perp i} \cdot \$3^i} \Rightarrow \$1^{\perp i} \mathcal{V}_{\text{Eff}/\text{Base}}(\text{P}) = \dot{q}_1^i \$1^{\perp i} \cdot \$1^i$$

Détermination des modèles cinématiques du 3R Plan

$$\mathbf{A} \begin{bmatrix} \dot{\phi} \\ \dot{x} \\ \dot{y} \end{bmatrix} = \mathbf{B} \begin{bmatrix} \dot{q}_1^1 \\ \dot{q}_1^2 \\ \dot{q}_1^3 \end{bmatrix}$$

$$\mathbf{A} = \begin{bmatrix} hl_2 \sin(q_3^1) & hl_2 \sin(q_3^2) & hl_2 \sin(q_3^3) \\ l_2 \cos(q_1^1 + q_1^2) & l_2 \cos(q_2^1 + q_2^2) & l_2 \cos(q_3^1 + q_3^2) \\ l_2 \sin(q_1^1 + q_1^2) & l_2 \sin(q_2^1 + q_2^2) & l_2 \sin(q_3^1 + q_3^2) \end{bmatrix}$$

$$\mathbf{B} = \begin{bmatrix} l_1 l_2 \sin(q_2^1) & 0 & 0 \\ 0 & l_1 l_2 \sin(q_2^2) & 0 \\ 0 & 0 & l_1 l_2 \sin(q_3^2) \end{bmatrix}$$

Le modèle cinématique inverse du robot parallèle 3R plan s'écrit:

$$\text{Si } q_2^i \neq 0 \text{ ou } \pi \text{ alors } \dot{\mathbf{q}} = \underbrace{\mathbf{B}^{-1} \mathbf{A}}_{\mathbf{J}^{-1}} \dot{\mathbf{x}}$$

$$\mathbf{J}^{-1} = \begin{bmatrix} h \sin(q_3^1) / l_1 \sin(q_1^2) & h \sin(q_3^2) / l_1 \sin(q_1^2) & h \sin(q_3^3) / l_1 \sin(q_1^2) \\ \cos(q_1^1 + q_1^2) / l_1 \sin(q_2^2) & \cos(q_2^1 + q_2^2) / l_1 \sin(q_2^2) & \cos(q_3^1 + q_3^2) / l_1 \sin(q_2^2) \\ \sin(q_1^1 + q_1^2) / l_1 \sin(q_3^2) & \sin(q_2^1 + q_2^2) / l_1 \sin(q_3^2) & \sin(q_3^1 + q_3^2) / l_1 \sin(q_3^2) \end{bmatrix}$$

Détermination du modèle statique inverse

Pour chaque chaine i: $\mathcal{F}_{ext \rightarrow effecteur}(P) = \boxed{\sum_{j=1}^{m_a} \mathcal{F}_{S_{j-1} \rightarrow S_j}^i(P)} + \boxed{\sum_{k=m_a+1}^m \mathcal{F}_{S_{k-1} \rightarrow S_k}^i(P)}$

\downarrow \downarrow

Liaisons actives Liaisons passives

Détermination du modèle statique inverse

Pour chaque chaine i: $\mathcal{F}_{ext \rightarrow effecteur}^i(P) = \sum_{j=1}^{m_a} \mathcal{F}_{S_{j-1} \rightarrow S_j}^i(P) + \sum_{k=m_a+1}^m \mathcal{F}_{S_{k-1} \rightarrow S_k}^i(P)$

Si la liaison est une pivot d'axe $(O_{k-1}^i, \vec{z}_{k-1}^i)$:

$$\mathcal{F}_{S_{k-1} \rightarrow S_k}^i(O_{k-1}^i) = \begin{pmatrix} \vec{F}_{S_{k-1} \rightarrow S_k}^i \\ \vec{M}_{S_{k-1} \rightarrow S_k}^i \end{pmatrix}_{O_{k-1}^i} \quad avec \quad \vec{M}_{S_{k-1} \rightarrow S_k}^i(O_{k-1}^i) \cdot \vec{z}_{k-1}^i = 0$$

Si la liaison est une glissière d'axe $(O_{k-1}^i, \vec{z}_{k-1}^i)$:

$$\mathcal{F}_{S_{k-1} \rightarrow S_k}^i(O_{k-1}^i) = \begin{pmatrix} \vec{F}_{S_{k-1} \rightarrow S_k}^i \\ \vec{M}_{S_{k-1} \rightarrow S_k}^i \end{pmatrix}_{O_{k-1}^i} \quad avec \quad \vec{F}_{S_{k-1} \rightarrow S_k}^i \cdot \vec{z}_{k-1}^i = 0$$

Détermination du modèle statique inverse

Pour chaque chaine i: $\mathcal{F}_{ext \rightarrow effecteur}(P) = \sum_{j=1}^{m_a} \mathcal{F}_{S_{j-1} \rightarrow S_j}^i(P) + \sum_{k=m_a+1}^m \mathcal{F}_{S_{k-1} \rightarrow S_k}^i(P)$

Il existe $\$j^{\perp i}$ tel que $\$j^i \cdot \$j^{\perp i} = D_j^i \neq 0$ et pour $k \neq j$: $\$k^i \cdot \$j^{\perp i} = 0$

\Downarrow

$$\$j^{\perp i} \cdot \mathcal{F}_{ext \rightarrow effecteur}(P) = \tau_j^{ai} \$j^{\perp i} \cdot \$j^i = \dot{q}_j^{ai} D_j^i$$

$$\underbrace{\begin{bmatrix} \$1^{\perp i T} \\ \vdots \\ \$m_a^{\perp i T} \end{bmatrix}}_{C^i} \begin{bmatrix} f_x \\ f_y \\ f_z \\ m_x \\ m_y \\ m_z \end{bmatrix} = \underbrace{\begin{bmatrix} D_1^i & 0 & 0 \\ 0 & \ddots & 0 \\ 0 & 0 & D_{m_a}^i \end{bmatrix}}_{D^i} \begin{bmatrix} \tau_1^{ai} \\ \vdots \\ \tau_{m_a}^{ai} \end{bmatrix}$$

Détermination du modèle statique inverse

Pour la chaîne i:
$$\begin{bmatrix} \tau_1^{ai} \\ \vdots \\ \tau_{m_a}^{ai} \end{bmatrix} = \underbrace{(\mathbf{D}^i)^{-1} \mathbf{C}^i}_{\mathbf{J}_i^T} \begin{bmatrix} f_x \\ f_y \\ f_z \\ m_x \\ m_y \\ m_z \end{bmatrix}$$

Le modèle statique inverse d'un robot parallèle s'écrit:

$$\begin{bmatrix} \tau_1^{a1} \\ \vdots \\ \tau_{m_a}^{an} \end{bmatrix} = \underbrace{\begin{bmatrix} \mathbf{J}_1^T \\ \vdots \\ \mathbf{J}_{m_a}^T \end{bmatrix}}_{\mathbf{J}^T} \begin{bmatrix} f_x \\ f_y \\ f_z \\ m_x \\ m_y \\ m_z \end{bmatrix}$$

Configurations singulières des robots parallèles

Pour chaque chaîne i : $\mathbf{A}_i \dot{\mathbf{x}} = \mathbf{B}_i \dot{\mathbf{q}}^{ai}$

$\dim(\dot{\mathbf{x}}) = 6 \times 1$, $\dim(\dot{\mathbf{q}}^{ai}) = m_a \times 1$, $\dim(\mathbf{A}_i) = m_a \times 6$, $\dim(\mathbf{B}_i) = m_a \times 1$

$$\text{Pour un robot parallèle : } \begin{bmatrix} \mathbf{A}_1 \\ \vdots \\ \mathbf{A}_n \end{bmatrix} \dot{\mathbf{x}} = \begin{bmatrix} \mathbf{B}_1 & 0 & 0 \\ 0 & \ddots & 0 \\ 0 & 0 & \mathbf{B}_n \end{bmatrix} \dot{\mathbf{q}}$$

$$\mathbf{A} \dot{\mathbf{x}} = \mathbf{B} \dot{\mathbf{q}}$$

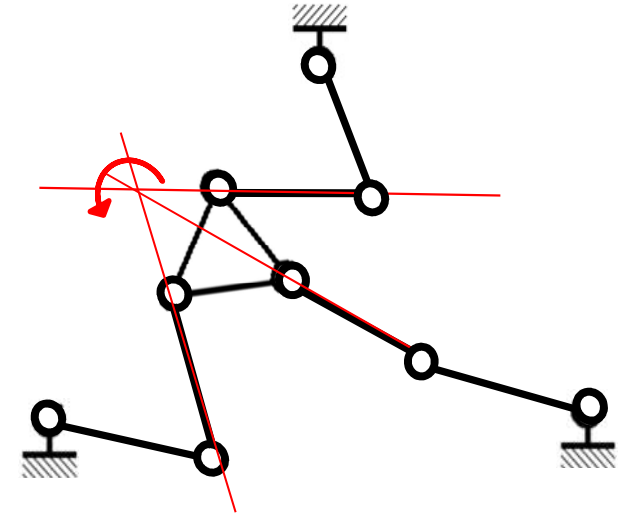
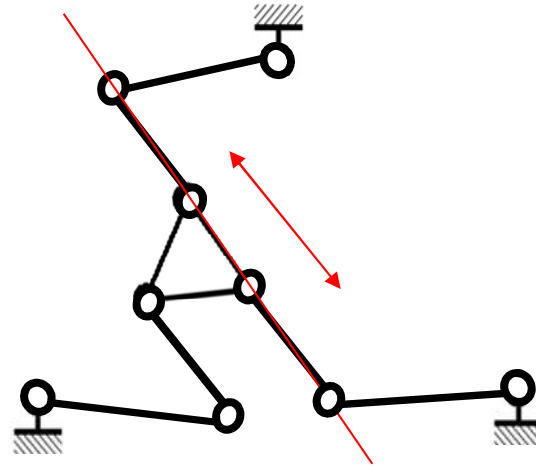
$$\dim(\mathbf{A}) = n \cdot m_a \times 6 \text{ et } \dim(\mathbf{B}) = n \cdot m_a \times n \cdot m_a$$

Un robot parallèle est dans une configuration singulière lorsque:

- $\det(\mathbf{A}) = 0 \Rightarrow$ les torseurs réciproques sont liés, des efforts ne sont plus transmis dans au moins une direction. Dans ces directions il apparaît au moins un DDL non contrôlable.
- $\det(\mathbf{B}) = 0 \Rightarrow$ Une au moins des chaînes cinématiques est en configuration singulière. Le robot perd au moins un DDL.

Les configurations singulières du 3R Plan

Mobilité non contrôlable



Mobilité perdue

